

(HUANJING KEXUE)

ENVIRONMENTAL SCIENCE

第35卷 第9期

Vol.35 No.9

2014

中国科学院生态环境研究中心 主办

斜学出版社出版



ENVIRONMENTAL SCIENCE

第35卷 第9期 2014年9月15日

目 次

长江三角洲地区霾判别方法的对比分析	0.)
长江二用初地区建刊加力法的对比分别	9)
1980~2012 年江苏省城市霾日的时空分布及成因分析 刘端阳,魏建苏,严文莲,吕军,孙燕(324'	7)
万里关大气二氧化碳和甲烷时间变化特征	6)
上海地区 DM 由方扣陽和三字牌亦作性在及中海公托 业龄化 工方士 封集數 鬼鬼棍 本根 即工本 从连续 20℃	2)
上海城区 FM ₂₅ 下有机城州九条城交 化行业及不脉力机	3)
亚青会期间南京市气溶胶中 OC 和 EC 的粒径分布 ····································	1)
无锡市冬季典型天气 PM. 中碳组分的污染特征 ············ 云龙龙 陆钒 张天舒 伍德侠 感世杰 陆亦怀 刘建国(328)	0)
市的体研工生如晒影物 DM 排放电热人工 艺育有 对亚丽 对头户 恋似的 互熟更 工程电 工工 第 (200	7)
高炉炼铁工艺细颗粒物 PM _{2.5} 排放特性分析 范真真,赵亚丽,赵浩宁,梁兴印,孙静雯,王保贵,王亚军(328)	1)
重庆市北碚城区大气中 VOCs 组成特征研究 祁心,郝庆菊,吉东生,张军科,刘子锐,胡波,王跃思,江长胜(329)	3)
双组分 VOCs 的催化氧化及动力学分析	2)
海东排进却细微岭粉冰府再收汉滩胜红的守卧研究 防山堤 陈秋士 对方 雄士自 经产价 (220	<u>-</u> /
八干排放超细域性数体及及性性值付证的关系切开。	9)
疏勒河上游地表水水化学主离子特征及其控制因素	5)
"加公民以源扎脚"业中面高手扩展会系统的数据法担托通导。 医毛虻 医绝孔 星郎斑 曾语利 电吹顺 维护 印海(220)	£ \
十江河南湖的乃甘江海河口五人居穴间入左乃污氿河及	<i>(</i>)
人过何恐怕权及共进两何口里並属至间分争及行案计划	0)
一种加岸区仍快物-小乔面昌介温及气态氮的样放过佳和通量	6)
北京奧林匹克公园地表颗粒物粒度特征分析 李海燕,石安邦,瞿杨晟,岳靖淋(335)	2)
黄河丰巨河和柳山米一岭蓝龙夕复晚至水亚公东	0)
奥西农区仍然物中天一幅天夕敦软本外干万和	0)
合肥城郊典型源头溪流不同渠迫形态的氮磷滞留特值 李如忠, 杨继伟, 钱靖, 童玉红, 唐丈坤(336)	5)
基干水资源调度的平原河网区城市河道氮迁移转化研究 · · · · · · · · · · · · · · · · · · ·	
刘波,盛明,朱强,杨霜,檀炳超,范冉,南旭军,何茂阳,王国祥(337)	2)
从 及,	3)
杭州湾潮滩湿地植物不同分解过程及其磷素动态 ····································	1)
基于数据同化的太湖叶绿素多模型协同反演 李渊,李云梅,吕恒,朱利,吴传庆,杜成功,王帅(338)	9)
天然日光辐照下两江交汇处溶解性有机质(DOM)光漂白过程:以涪江-嘉陵江为例····································	- /
人然自儿相思下两江文在处谷胜往有忧灰(DOM)儿宗口过往:以行江-萧陵江为例	
	7)
利用紫外-可见吸收光谱估算三峡库区消落带水体、土壤和沉积物溶解性有机质(DOM)浓度 ····································	
李璐璐,江韬,卢松,闫金龙,高洁,魏世强,王定勇,郭念,赵铮(3408	0 \
子姆姆, 江阳, 广松, 门金龙, 间泊, 观巴强, 江水为, 沙沙, 沙沙, 沙沙,	0)
Cu ₂ O-Ag-AgBr/MA 可见光催化剂的制备及其降解 2-氯苯酚的研究 ····································	7)
不同粒径零价铁活化过硫酸钠氧化降解酸性橙 7 的影响及动力学研究 ······	
李办帝 互入自 五營	2)
子从族, // 金水, 与巨人, 奥约省, 土地, 外侧传(342)	2)
还原脫氯-生物联合降解 2,4-二氯本氧乙酸 周红艺,曾忠忠,梁忠,韩鉴(3430	0)
多介质土壤滤层系统(MSL)与潜流式人工湿地技术处理海水养殖废水的效能比较 ····································	
李欢旋,万金泉,马邕文,黄明智,王艳,陈杨梅(3422) 还原脱氯-生物联合降解 2,4-二氯苯氧乙酸 李欢旋,万金泉,马邕文,黄明智,王艳,陈杨梅(3422)	6)
多介质土壤滤层系统(MSL)与潜流式人工湿地技术处理海水养殖废水的效能比较	6)
多介质土壤滤层系统(MSL)与潜流式人工湿地技术处理海水养殖废水的效能比较 宋颖,黄玉婷,葛川,张浩,陈昕,张志剑,罗安程(3436不同碳源在污水处理过程中的变化规律研究 ·························· 金鹏康,常晋,王先宝,刘柯君,王晓昌(3446	6) 3)
多介质土壤滤层系统(MSL)与潜流式人工湿地技术处理海水养殖废水的效能比较 宋颖,黄玉婷,葛川,张浩,陈昕,张志剑,罗安程(3436)不同碳源在污水处理过程中的变化规律研究 金鹏康,常晋,王先宝,刘柯君,王晓昌(3445)气升装置对厌氧氨氧化反应器脱氮效能的影响 李祥,张大林,黄勇,陈宗姮,袁怡(3446)	6) 3) 9)
多介质土壤滤层系统(MSL)与潜流式人工湿地技术处理海水养殖废水的效能比较 宋颖,黄玉婷,葛川,张浩,陈昕,张志剑,罗安程(3436不同碳源在污水处理过程中的变化规律研究 金鹏康,常晋,王先宝,刘柯君,王晓昌(3445气升装置对厌氧氨氧化反应器脱氮效能的影响 李祥,张大林,黄勇,陈宗垣,袁怡(3445年) 李祥,张大林,黄勇,陈宗垣,袁怡(3445年) 李祥,张大林,黄勇,陈宗垣,袁怡(345年) 李祥,张大林,黄勇,陈宗垣,袁怡(345年)	6) 3) 9)
多介质土壤滤层系统(MSL)与潜流式人工湿地技术处理海水养殖废水的效能比较 宋颖,黄玉婷,葛川,张浩,陈昕,张志剑,罗安程(3436不同碳源在污水处理过程中的变化规律研究 金鹏康,常晋,王先宝,刘柯君,王晓昌(3445年) 金鹏康,常晋,王先宝,刘柯君,王晓昌(3445年) 金鹏康,常晋,王先宝,刘柯君,王晓昌(3445年) 金鹏康,常晋,王先宝,刘柯君,王晓昌(3445年) 金融,张大林,黄勇,陈宗姮,袁怡(3445年) 345年 刘启宝,倪晓棠,魏源送,佟娟,王亚炜(345年) 345年 147年 147年 147年 147年 147年 147年 147年 147	6) 3) 9) 5)
不同碳源在污水处理过程中的变化规律研究	6) 3) 9)
不同碳源在污水处理过程中的变化规律研究 金鹏康,常晋,王先宝,刘柯君,王晓昌(344)	6) 3) 9)
不同碳源在污水处理过程中的变化规律研究 金鵬康,常晋,王先宝,刘柯君,王晓昌(344:气升装置对厌氧氨氧化反应器脱氮效能的影响 李祥,张大林,黄勇,陈宗矩,袁怡(344:微波及其组合工艺强化污泥厌氧消化研究 刘吉宝,倪晓棠,魏源送,佟娟,王亚炜(345:"热水解-高温厌氧消化"工艺处理高含固率剩余污泥的中试研究 吴静,王广启,曹知平,李中华,胡玉瑛,王凯军,左剑恶(346:污水处理厂尾水细菌群落结构分析 吴鹏,陆爽君,徐乐中,刘捷,沈耀良(346:污水处理厂尾水细菌群落结构分析 徐爱玲,任杰,宋志文,吴等等,夏岩(347:沼液养殖钝顶螺旋藻的中试研究 国青青,刘锐,罗金飞,王根荣,陈吕军,刘矣(348:内源呼吸过程溶解性代谢产物的光谱特性分析 李志华,引起丽,张芹,刘毅,贺春博(349:S-异丙甲草胺与镉对斜生栅藻光合作用的影响 陈彩东,胡晓娜,章小强,刘惠君(349:影响浑太河流域鱼类群落结构的不同尺度环境因子分析 李志华,自旭丽,张芹,刘毅,贺春博(349:影响浑太河流域鱼类群落结构的不同尺度环境因子分析 李老华,自旭丽,张芹,刘毅,贺春博(352:Fontibacter sp. SgZ-2 厌氧腐殖质/Fe(Ⅲ)还原特性及电子传递机制研究 马文华,张玮,顾琬雯,张瑞雷,王丽卿(351:Fontibacter sp. SgZ-2 厌氧腐殖质/Fe(Ⅲ)还原特性及电子传递机制研究 艾建超,王宁,杨净(353:石河子市土壤环境磁学特征及空间分布研究 杨海,熊黑钢,陈学刚(353:不同施磷量(KH,PO₄)作用对 Cu、Zn 在红壤中的迁移转化 郭亮,李忠武,黄斌,王艳,张艳(354	6) 3) 9) 5) 1) 6) 3) 7) 2) 8) 4) 3) 2) 0) 7)
不同碳源在污水处理过程中的变化规律研究 金鹏康、常晋,王先宝、刘柯君,王晓昌(344、气升装置对厌氧氨氧化反应器脱氮效能的影响 李祥,张大林,黄勇,陈宗姮,袁怡(344、微波及其组合工艺强化污泥厌氧消化研究 刘吉宝,倪晓棠,魏源送,佟娟,王亚炜(345、"热水解-高温厌氧消化"工艺处理高含固率剩余污泥的中试研究 吴静,王广启,曹知平,李中华,胡玉瑛,王凯军,左剑恶(346、污水处理厂尾水细菌群落结构分析 吴鹏,陆爽君,徐乐中,刘捷,沈耀良(346、污水处理厂尾水细菌群落结构分析 发寒,生物产者,有多个,在杰,宋志文,吴等等,夏岩(347、沼液养殖钝顶螺旋藻的中试研究 国青青,刘锐,罗金飞,王根荣,陈吕军,刘矣(348、内源呼吸过程溶解性代谢产物的光谱特性分析 李志华,张芹,白旭丽,刘毅(348、基于呼吸图谱的自养菌与异养菌内源呼吸过程分析 李志华,由旭丽,张芹,刘毅,贺春博(349、S-异丙甲草胺与镉对斜生栅藻光合作用的影响 陈彩东,胡晓娜,章小强,刘惠君(349、影响浑太河流域鱼类群落结构的不同尺度环境因子分析 李志华,自旭丽,张芹,刘毅,贺春博(349、影响浑太河流域鱼类群落结构的不同尺度环境因子分析 李艳利,李艳粉,徐宗学(350、河口区新建河道轮虫群落演替及与水环境的关系 马文华,张玮,顾琬雯,张瑞雷,王丽卿(351、Fontibacter sp. SgZ-2 厌氧腐殖质/Fe(Ⅲ)还原特性及电子传递机制研究 马晨,杨贵芹,陆琴,周顺桂(352、基于 UNMIX 模型的夹皮沟金矿区土壤重金属源解析 艾建足,于宁、为是,为贵,为贵,则,陈学刚(353、不同施磷量(KH,PO₄)作用对 Cu、Zn 在红壤中的迁移转化 郭亮,李忠武,黄斌,王艳,张艳(3546、硫素对水稻吸收砷的生物有效性及其在十壤中形态影响 杨世杰,唐冰培、王代长、饶伟、张亚楠、王丹、朱云集(3556、硫素对水稻吸收砷的中物有效性及其在十壤中形态影响 杨世杰,唐冰培、王代长、饶伟、张亚楠、王丹、朱云集(3556、硫素对水稻吸收砷的中物有效性及其在十壤中形态影响 杨世杰,唐冰培、王代长、饶伟、张亚楠、王丹、朱云集(3555	66) 33) 99) 55) 11) 166) 33) 77) 22) 88) 44) 33) 77) 66) 33)
不同碳源在污水处理过程中的变化规律研究 金鹏康、常晋,王先宝、刘柯君,王晓昌(344、气升装置对厌氧氨氧化反应器脱氮效能的影响 李祥,张大林,黄勇,陈宗姮,袁怡(344、微波及其组合工艺强化污泥厌氧消化研究 刘吉宝,倪晓棠,魏源送,佟娟,王亚炜(345、"热水解-高温厌氧消化"工艺处理高含固率剩余污泥的中试研究 吴静,王广启,曹知平,李中华,胡玉瑛,王凯军,左剑恶(346、污水处理厂尾水细菌群落结构分析 吴鹏,陆爽君,徐乐中,刘捷,沈耀良(346、污水处理厂尾水细菌群落结构分析 发寒,生物产者,有多个,在杰,宋志文,吴等等,夏岩(347、沼液养殖钝顶螺旋藻的中试研究 国青青,刘锐,罗金飞,王根荣,陈吕军,刘矣(348、内源呼吸过程溶解性代谢产物的光谱特性分析 李志华,张芹,白旭丽,刘毅(348、基于呼吸图谱的自养菌与异养菌内源呼吸过程分析 李志华,由旭丽,张芹,刘毅,贺春博(349、S-异丙甲草胺与镉对斜生栅藻光合作用的影响 陈彩东,胡晓娜,章小强,刘惠君(349、影响浑太河流域鱼类群落结构的不同尺度环境因子分析 李志华,自旭丽,张芹,刘毅,贺春博(349、影响浑太河流域鱼类群落结构的不同尺度环境因子分析 李艳利,李艳粉,徐宗学(350、河口区新建河道轮虫群落演替及与水环境的关系 马文华,张玮,顾琬雯,张瑞雷,王丽卿(351、Fontibacter sp. SgZ-2 厌氧腐殖质/Fe(Ⅲ)还原特性及电子传递机制研究 马晨,杨贵芹,陆琴,周顺桂(352、基于 UNMIX 模型的夹皮沟金矿区土壤重金属源解析 艾建足,于宁、为是,为贵,为贵,则,陈学刚(353、不同施磷量(KH,PO₄)作用对 Cu、Zn 在红壤中的迁移转化 郭亮,李忠武,黄斌,王艳,张艳(3546、硫素对水稻吸收砷的生物有效性及其在十壤中形态影响 杨世杰,唐冰培、王代长、饶伟、张亚楠、王丹、朱云集(3556、硫素对水稻吸收砷的中物有效性及其在十壤中形态影响 杨世杰,唐冰培、王代长、饶伟、张亚楠、王丹、朱云集(3556、硫素对水稻吸收砷的中物有效性及其在十壤中形态影响 杨世杰,唐冰培、王代长、饶伟、张亚楠、王丹、朱云集(3555	66) 33) 99) 55) 11) 66) 73) 88) 44) 33) 77) 66) 33)
不同碳源在污水处理过程中的变化规律研究 金鹏康、常晋,王先宝、刘柯君,王晓昌(344、气升装置对厌氧氨氧化反应器脱氮效能的影响 李祥,张大林,黄勇,陈宗姮,袁怡(344、微波及其组合工艺强化污泥厌氧消化研究 刘吉宝,倪晓棠,魏源送,佟娟,王亚炜(345、"热水解-高温厌氧消化"工艺处理高含固率剩余污泥的中试研究 吴静,王广启,曹知平,李中华,胡玉瑛,王凯军,左剑恶(346、污水处理厂尾水细菌群落结构分析 吴鹏,陆爽君,徐乐中,刘捷,沈耀良(346、污水处理厂尾水细菌群落结构分析 发寒,生物产者,有多个,在杰,宋志文,吴等等,夏岩(347、沼液养殖钝顶螺旋藻的中试研究 国青青,刘锐,罗金飞,王根荣,陈吕军,刘矣(348、内源呼吸过程溶解性代谢产物的光谱特性分析 李志华,张芹,白旭丽,刘毅(348、基于呼吸图谱的自养菌与异养菌内源呼吸过程分析 李志华,由旭丽,张芹,刘毅,贺春博(349、S-异丙甲草胺与镉对斜生栅藻光合作用的影响 陈彩东,胡晓娜,章小强,刘惠君(349、影响浑太河流域鱼类群落结构的不同尺度环境因子分析 李志华,自旭丽,张芹,刘毅,贺春博(349、影响浑太河流域鱼类群落结构的不同尺度环境因子分析 李艳利,李艳粉,徐宗学(350、河口区新建河道轮虫群落演替及与水环境的关系 马文华,张玮,顾琬雯,张瑞雷,王丽卿(351、Fontibacter sp. SgZ-2 厌氧腐殖质/Fe(Ⅲ)还原特性及电子传递机制研究 马晨,杨贵芹,陆琴,周顺桂(352、基于 UNMIX 模型的夹皮沟金矿区土壤重金属源解析 艾建足,于宁、为是,为贵,为贵,则,陈学刚(353、不同施磷量(KH,PO₄)作用对 Cu、Zn 在红壤中的迁移转化 郭亮,李忠武,黄斌,王艳,张艳(3546、硫素对水稻吸收砷的生物有效性及其在十壤中形态影响 杨世杰,唐冰培、王代长、饶伟、张亚楠、王丹、朱云集(3556、硫素对水稻吸收砷的中物有效性及其在十壤中形态影响 杨世杰,唐冰培、王代长、饶伟、张亚楠、王丹、朱云集(3556、硫素对水稻吸收砷的中物有效性及其在十壤中形态影响 杨世杰,唐冰培、王代长、饶伟、张亚楠、王丹、朱云集(3555	66) 33) 99) 55) 11) 66) 73) 88) 44) 33) 77) 66) 33)
不同碳源在污水处理过程中的变化规律研究	66) 33) 99) 55) 11) 66) 33) 60) 77) 22) 88) 44) 23) 44) 42)
不同碳源在污水处理过程中的变化规律研究	66) 3) 99) 55) (1) (6) 33) (7) (2) (8) (4) (3) (7) (6) (3) (4) (4) (4) (4) (4) (4) (4) (4
不同碳源在污水处理过程中的变化规律研究	66) 33) 99) 55) 11) 66) 33) 60) 77) 22) 88) 44) 23) 44) 42)
不同碳源在污水处理过程中的变化规律研究	66) 33) 99) 55) 11) 66) 33) 60) 77) 22) 88) 44) 23) 44) 42)
不同碳源在污水处理过程中的变化规律研究	66) 33) 99) 55) 11) 66) 33) 60) 77) 22) 88) 44) 23) 44) 42)
不同碳源在污水处理过程中的变化规律研究 金廳康、常晋,王先宝,刘柯君,王晓昌(344)	66) 33) 99) 55) 11) 66) 33) 60) 77) 22) 88) 44) 23) 44) 42)

不同粒径零价铁活化过硫酸钠氧化降解酸性橙 7 的影响及动力学研究

李欢旋1,万金泉1,3*,马邕文1,3,黄明智2,王艳1,陈杨梅4

(1. 华南理工大学环境与能源学院,广州 510006; 2. 中山大学水资源与环境系,广州 510275; 3. 华南理工大学纸浆造纸工程国家重点实验室,广州 510640; 4. 华南理工大学化学与化工学院,广州 510640)

摘要: 以偶氮染料酸性橙 7(AO7) 为目标污染物,研究了不同粒径零价铁(包括 1 mm-ZVI、150 μm-ZVI、50 nm-ZVI) 对活化过硫酸钠(PS) 氧化降解 AO7 的影响,并探讨了这 3 种不同粒径的零价铁活化体系中 AO7 的降解动力学及中间产物. 结果表明,3 种粒径零价铁均可以高效活化 PS 氧化降解 AO7,反应 90 min 后,1 mm-ZVI、150 μm-ZVI 和 50 nm-ZVI 活化体系对 AO7 的 去除率分别为 43%、97% 和 100%. AO7 动力学方程拟合结果表明,1 mm-ZVI 和 150 μm-ZVI 活化 PS 降解 AO7 是一级反应,50 nm-ZVI 活化体系中 AO7 的降解是二级反应,这 3 种粒径零价铁活化 PS 降解 AO7 的速率常数大小顺序为 50 nm-ZVI >150 μm-ZVI 1 mm-ZVI. 反应过程中 1 mm-ZVI 反应后主要生成 1 mm-ZVI 1 mm-ZVI 1 1 mm-ZVI 1 1 mm-ZVI 1 的主要氧化物为 1 mm-ZVI 1 不下e2O3 和 1 mm-ZVI 1 的主要氧化物为 1 mm-ZVI 1 mm-ZVI 1 的主要氧化物为 1 mm-ZVI 1

关键词:过硫酸钠(PS);零价铁(ZVI);酸性橙7(AO7);粒径;降解动力学;中间产物中图分类号:X703.1 文献标识码:A 文章编号:0250-3301(2014)09-3422-08 **DOI**:10.13227/j.hjkx.2014.09.024

Effects of Particle Size of Zero-Valent Iron on the Reactivity of Activating Persulfate and Kinetics for the Degradation of Acid Orange 7

LI Huan-xuan¹, WAN Jin-quan^{1,3}, MA Yong-wen^{1,3}, HUANG Ming-zhi², WANG Yan¹, Chen Yang-mei⁴

(1. College of Environment and Energy, South China University of Technology, Guangzhou 510006, China; 2. Department of Water Resources and Environment, Sun Yat-sen University, Guangzhou 510275, China; 3. State Key Laboratory of Pulp and Paper Engineering, South China University of Technology, Guangzhou 510640, China; 4. School of Chemistry and Chemical Engineering, South China University of Technology, Guangzhou 510640, China)

Abstract: This research described the heterogeneous reactions of persulfate with different particle sizes of zero-valent iron (including 1 mm-ZVI,150 μm-ZVI,50 nm-ZVI) for degradation of acid orange 7 (AO7), and studied the kinetics and intermediate products of AO7 under these systems. The results demonstrated that these three types of ZVI were efficient in promoting the degradation of AO7, the degradation efficiencies of AO7 were 43%, 97%, and 100% within 90 min respectively, in the 1 mm-ZVI,150 μm-ZVI and 50 nm-ZVI systems, respectively. With the results of kinetic fitting models, the pseudo first-order kinetics exhibited better fitting results in the 1 mm-ZVI systems, while the second-order kinetics exhibited better fitting results in the 50 nm-ZVI system. And the different ZVI types exhibited difference on the AO7 degradation rate constant, which ranged as 50 nm-ZVI > 150 μm-ZVI > 1 mm-ZVI. The iron corrosion products coating on the ZVI after reaction were composed of α-Fe₂O₃ and some Fe₃O₄ in the 1 mm-ZVI system while that consisted of Fe₃O₄ and α-Fe₂O₃, FeOOH respectively, in the150 μm-ZVI and 50 nm-ZVI systems,. Which were identified by scanning electron microscope (SEM) with energy dispersive spectrometer (EDS) and Raman spectroscopy. Some intermediate products, including 2-naphthalenol, 2-methylphenol, 4-ethyl-3-methyl-phenol, isoindole-1,3-dione and phthalic acid *et al.* were identified by GC/MS measurement. Both UV-vis absorbance spectra and GC/MS determination indicated that there was difference in degradation paths of AO7 between the three systems.

Key words: persulfate; zero-valent iron; acid orange 7; particle size; degradation kinetics; intermediate products

基于硫酸自由基(SO₄⁻⁻)的高级氧化技术是近年发展起来的氧化去除难降解有机污染物的新技术. 该技术中的硫酸根自由基对难降解的有机污染物具有降解快速、无选择性、氧化彻底等特点. SO₄⁻⁻可以通过高温热解、光催化、过渡金属等方式活化分解过硫酸盐产生^[1-3]. 实验研究表明,

Co(II)和Ag(I)对过硫酸盐具有较好的催化效果,然而Co(II)对环境的危害性及Ag(I)高昂的

收稿日期: 2014-01-17; 修订日期: 2014-04-23

基金项目: 广东省战略新兴产业项目(2012A032300015)

作者简介: 李欢旋(1988~),女,博士,主要研究方向为水污染控制与给水净化,E-mail;huanxuanli2013@ sina. com

^{*} 通讯联系人, E-mail: ppjqwan@ scut. edu. cn

价格限制了它们的广泛应用[4]. 价格低廉,活化效 率高,环境友好的过渡金属离子Fe(Ⅱ)是过硫酸盐 催化剂的最佳选择[反应式(1)],但是Fe(Ⅱ)在活 化过硫酸盐体系中也存在着局限性,包括副反应多、 氧化剂利用率低及反应需在 pH < 3 条件下进行、反 应结束后会形成大量铁泥等[5].

$$Fe^{2+} + S_2O_8^{2-} \longrightarrow Fe^{3+} + SO_4^{--} + SO_4^{2-}$$
 (1)
于是不少研究者通过连续投加亚铁离子

(Fe²⁺)、加入硫代硫酸钠和络合剂(EDTA、EDDS、 草酸等)等方法来控制溶液中 Fe2+溶度,减少副反 应的发生,提高 SO_4^{-1} 的利用率^[6,7]. 络合剂的加入 虽然在一定程度上可以控制 Fe2+ 的浓度,减少铁 泥,但是诸如 EDTA、EDDS 等具络合剂本身就是一 种难生物降解的有机污染物,因此,这些体系在反应 结束后因络合剂的存在而形成的二次污染限制了其 在实际工业废水中的应用. 然而使用零价铁(ZVI) 作为催化剂不仅可以在一定程度上克服以上的不 足,而且还避免了其他不必要阴离子的加入,高效降 解污染物的有效 pH 值得到拓宽,并且可以通过多 种渠道产生 Fe2+,包括厌氧条件和有氧条件以及 ZVI表面的氧化反应均可以产生具有催化过硫酸盐 能力的 Fe^{2+} [反应式(2)~(6)][8,9].

$$Fe^0 \longrightarrow Fe^{2+} + 2e^-$$
 (2)

$$2Fe^{0} + O_{2} + 2H_{2}O \longrightarrow 2Fe^{2+} + 4OH^{-}$$
 (3)

$$Fe^{0} + 2H_{2}O \longrightarrow Fe^{2+} + 2OH^{-} + H_{2}$$
 (4)

$$Fe^{0} + S_{2}O_{8}^{2-} \longrightarrow Fe^{2+} + 2SO_{4}^{2-}$$
 (5)

$$Fe^0 + 2Fe^{3+} \longrightarrow 3Fe^{2+} \tag{6}$$

近年来,ZVI 催化活化过硫酸盐的研究引起了 不少研究者的兴趣. Kusic 等[9]对 Fe2+和 ZVI 活化 过硫酸盐降解模型偶氮染料废水进行了研究,响应 面分析方法发现在最佳工艺条件下,ZVI 体系对染 料废水的矿化率更优. Zhao 等[4]通过 Fe⁰ 活化过硫 酸盐氧化降解 4-氯酚的结果表明, Fe⁰ 在水溶液中 作为缓慢释放 Fe2+的来源,对提高 4-氯酚的降解具 有重大的意义,而且该体系在 pH 为中性条件下也 可以高效降解污染物. 台湾中兴大学的 Liang 等[10] 对 ZVI 活化过硫酸盐降解三氯乙烯的研究结果进一 步表明,Fe⁰ 催化活化过硫酸盐能够有效降低 Fe²⁺ 释放速率,并且该氧化过程能够快速、高效地降解 三氯乙烯. 这些关于 ZVI 活化过硫酸盐的研究主要 是考察 ZVI、氧化剂用量及 pH 等的作用,关于 ZVI 粒径大小对其催化活化过硫酸盐的影响问题目前未 见报道. 本研究以难生物降解且具有毒性和潜在致 癌性的偶氮染料酸性橙 7(AO7) 为目标污染物[11], 探讨不同粒径的 ZVI,包括 1 mm 粒径的铁粒(1 mm-ZVI)、150 μm 粒径的铁粉(150 μm-ZVI)和粒 径为50 nm 的纳米铁粉(50 nm-ZVI)对其催化活化 过硫酸钠(PS)降解偶氮染料 AO7 的影响,同时考察 了 AO7 在不同粒径 ZVI 活化 PS 氧化降解体系中的 降解动力学和中间产物.

1 材料与方法

1.1 主要试剂

偶氮染料 AO7. 日本东京化成工业株式会社: 过硫酸钠,天津市科密欧化学试剂有限公司; 1 mm 粒径,150 μm 粒径和 50 nm 粒径的 ZVI,阿拉丁试 剂(上海)有限公司;经氮吸附法测定得到该3种 ZVI 的比表面积分别为 0.071 m²·g⁻¹(1 mm ZVI), $0.389 \text{ m}^2 \cdot \text{g}^{-1}$ (150 µm ZVI) 和 28.637 $\text{m}^2 \cdot \text{g}^{-1}$ (50 nm ZVI). 实验过程所有药品均为分析纯.

1.2 实验方法

以偶氮染料 A07 的去除率作为评定 ZVI 催化 活化 PS 性能的依据,具体实验步骤如下: 取 50 mL 浓度为 0.4 mmol·L⁻¹ 的 AO7 溶液于 250 mL 锥形 瓶中,加入50 mL浓度为4 mmol·L⁻¹ 的 PS 溶液使 得 PS: AO7为 10:1,最后加入一定量的 ZVI 并将锥 形瓶置于已提前将温度设定为25℃,振荡转速约为 150 r·min⁻¹的恒温振荡培养箱(ZHWY-2012C)反 应. 所有实验中 AO7 和 PS 的浓度均控制为 0.2 mmol·L⁻¹ 和 2 mmol·L⁻¹,零价铁浓度为 0.5 g·L⁻¹, 未调 pH(初始 pH 为 3.8 ± 0.1).

1.3 分析方法

AO7 的浓度使用紫外可见分光光度计 (UV2301II)测量,特征吸收峰在波长 486 nm 处,而 剩余的 PS 浓度则采用碘化钾分光光度法测定[12], Fe²⁺的浓度采用邻菲罗啉分光光度法测定^[13].用 扫描电镜(SEM-EDS, Quanta 200,荷兰 FEI)和拉曼 光谱对反应前后不同粒径 ZVI 进行表征.

GC/MS 分析采用 Agilent 7890A 型(U.S.A) 气相色谱仪,色谱柱为 DB-5 毛细管柱(30 m×320 μm×0.5 μm),质谱采用 EI 电离源(70 eV),离子 源温度为 230℃, 载气(He)流量为 1.0 mL·min⁻¹, 进样量为1 µL,进样口温度为250℃,采用不分流模 式. 程序升温:40℃保持 2 min,再以 12℃·min⁻¹的 速度升至 100℃, 然后以 5℃·min⁻¹的速度升至 200℃,最后以20℃·min⁻¹升温至270℃保持5 min.

2 结果与分析

2.1 不同粒径 ZVI 对活化过硫酸钠降解 AO7 的影响

过去几十年的大量研究表明,零价铁所参与的 化学反应中,零价铁粒径大小与化学反应有着密切 的联系[14,15]. 零价铁粒径对其活化 PS 氧化降解 AO7 的影响如图 1 所示, AO7 在只有氧化剂 PS 的 条件下几乎没有去除,说明在室温下 PS 具有较高的 稳定性,不容易分解产生 SO₄. 然而从图 1 中可以 发现在只有 ZVI 单独处理 AO7 废水的情况下,3 种 不同粒径的 ZVI 表现出完全不同的性能. 反应 120 min 后 1 mm-ZVI 对 AO7 几乎没有去除效果, 而 150 μm-ZVI 对 AO7 的去除率也只有 10% 左右,但是 50 nm-ZVI 通过还原作用对 A07 的去除率达到 55% 左 右,这说明粒径越小、比表面积越大的 ZVI 对偶氮 染料 AO7 的还原脱色能力越强. 同时由图1可以发 现 3 种粒径 ZVI 对活化 PS 氧化降解 AO7 也具有不 同的性能,在 PS 和 ZVI 同时存在情况下,反应 90 min 后 1 mm-ZVI、150 μm-ZVI 和 50 nm-ZVI 活化 PS 降解 AO7 分别为 43%、97%、100% 左右的去除 率. 而且可以发现在 50 nm-ZVI/PS 体系中 AO7 的 去除非常迅速,在反应开始 20 min 后就超过了 96%. 这说明粒径越小的 ZVI 对 PS 的活化能力越 高,反应速度越快,可见3种粒径 ZVI 活化 PS 降解 AO7 的活性大小为 50 nm-ZVI > 150 μm-ZVI > 1 mm-ZVI. 主要是由于随着零价铁粒子直径的减小, 其表面原子数占总原子数的比例增加,零价铁的表 面积和表面能也迅速增大,进而可以提高零价铁颗 粒对 PS 的催化反应活性使得处理效率显著提高.

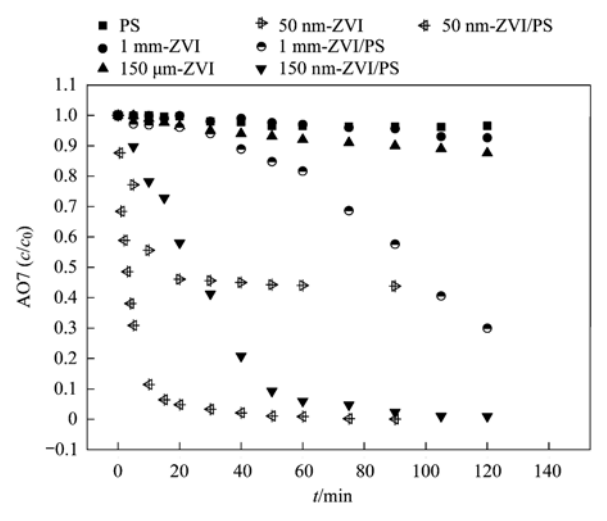


图 1 不同粒径零价铁活化过硫酸钠降解 AO7 的影响

Fig. 1 Influence of the particle size of ZVI on the reactivity of activated persulfate for degradation of AO7

2.2 体系中亚铁离子和过硫酸钠的变化

在零价铁催化活化 PS 降解 AO7 的体系中, Fe^{2+} 是催化 PS 产生 SO_4^- 的有效铁离子,因此溶液中 Fe^{2+} 浓度大小是影响 AO7 降解效率的重要因素. 图 2 为不同粒径 ZVI 活化 PS 降解 AO7 的体系中 Fe^{2+} 和 PS 浓度变化. 从中可以看出,1 mm-ZVI/PS/AO7 体系中, Fe^{2+} 的溶出速率是相当缓慢的,而且整个反应过程中该体系的 Fe^{2+} 浓度是不断增加的,这与该体系下 PS 的分解结果一致,该体系中 PS 的分解是持续进行的,产生的 SO_4^- 降解 AO7 的速度也是相对缓慢的. 相对于 1 mm-ZVI/PS/AO7 体系中 Fe^{2+} 的溶出速率,150 μ m-ZVI/PS/AO7 体系中 Fe^{2+} 的溶出速率比较快,但是其浓度在达到 16.1 mg·L $^{-1}$ 后开始下降,这是由于部分 Fe^{2+} 被产生的 SO_4^- 氧化为 Fe^{3+} ,见反应式(7) $^{[6]}$.

$$SO_4^{-\cdot} + Fe^{2+} \longrightarrow Fe^{3+} + SO_4^{2-}$$
 (7)

此外, $Fe(OH)_2$ 和 $Fe(OH)_3$ 沉淀的形成也是导致 Fe^{2+} 浓度下降的一个重要原因,可见在 50 nm-ZVI/PS/AO7 体系中 Fe^{2+} 的浓度在反应开始 20 min 后急剧下降也是归因于铁离子的沉淀作用. 因为该体系下的 pH 值也在这时候由 pH 值为 3.0 开始急剧上升到 pH 值为 4.5,这必然会导致铁离子的沉淀,研究表明,当溶液中 pH 值大于 4 时 Fe^{3+} 就会开始沉淀. 由于纳米零价铁具有较大的比表面积和较强的还原活性,因此在 50 nm-ZVI/PS/AO7 体系中Fe²⁺的溶出速率非常快,反应开始 20 min 时该体系中 Fe^{2+} 的浓度就达到 $152 \text{ mg} \cdot \text{L}^{-1}$,高浓度的 Fe^{2+} 浓度使得溶液中的 PS 浓度急剧下降,反应 10 min 左右就消耗完全(见图 2).

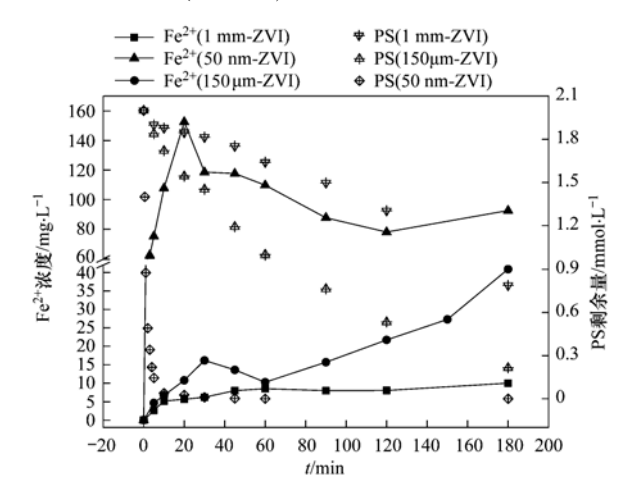


图 2 反应过程中 Fe2+和 PS 的浓度变化

Fig. 2 Iron leaching and persulfate decomposition during reaction time

2.3 不同粒径零价铁活化过硫酸钠降解 AO7 的反应动力学

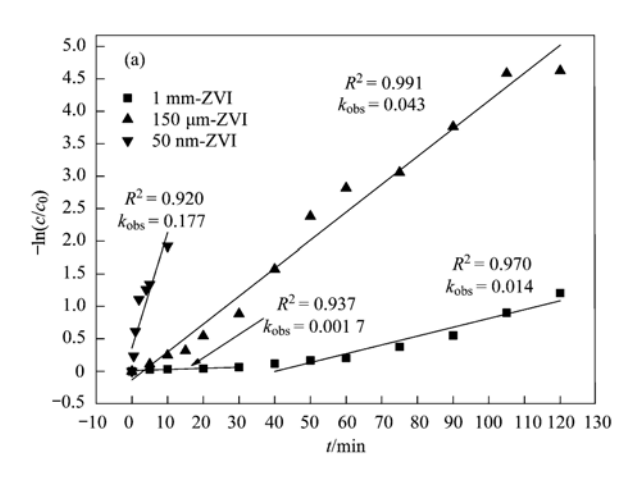
由前面的结果可知,零价铁粒径大小对活化 PS 降解 AO7 产生重要的影响,因此为了准确分析不同 粒径 ZVI 活化 PS 降解 AO7 的反应动力学,分别采用一级反应和二级反应对 AO7 降解进行拟合,见方程式(8)和(9).

$$\ln \frac{c_t}{c_0} = -k_{\text{obs }1}t \tag{8}$$

$$\frac{1}{c_{\cdot}} = 1 + k_{\text{obs } 2} c_0 t \tag{9}$$

式中, c_0 为 AO7 的初始浓度, c_t 为反应 t 时间后 AO7 的浓度, k_{obsl} 为拟合所得一级反应动力学常数(单位为 min^{-1}), k_{obs2} 为拟合所得二级反应动力学常数 [单位为L·($mg\cdot min$) $^{-1}$]. 图 3(a)为 AO7 降解的一级反应拟合结果,发现 3 种粒径 ZVI 活化 PS 降解 AO7 表现为一级反应的相关系数都比较高,而且 1

mm-ZVI 活化体系中 AO7 的降解表现出 2 个阶段的 反应. 第一阶段的降解较为缓慢,其反应速率常数 为 0.0017 min⁻¹, 第二阶段的反应速率常数为 0.014 min⁻¹,这主要是因为 1 mm-ZVI 的比表面积 较小,Fe2+的释放速率比较慢,因此第一阶段的反应 主要是发生在零价铁表面的非均相反应. 而第二阶 段随着溶液中的 Fe2+浓度不断提高,主要是发生在 溶液中的均相反应,因此其反应速率要比非均相反 应要快得多. 图 3(b) 为 AO7 降解的二级反应的拟 合结果,由相关系数(R^2)的数值可以明显发现除了 50 nm-ZVI 活化体系中 AO7 的降解拟合较好外,其 余2种粒径体系的拟合度都很低,说明1 mm-ZVI和 150 μm-ZVI 活化过硫酸钠降解 AO7 的动力学曲线 符合一级反应动力学方程. 而 50 nm-ZVI 活化体系 中 AO7 的降解拟合回归系数 R^2 为 0.975 高于一级 反应拟合系数 0.920, 因此该体系中 A07 的降解是 二级反应.



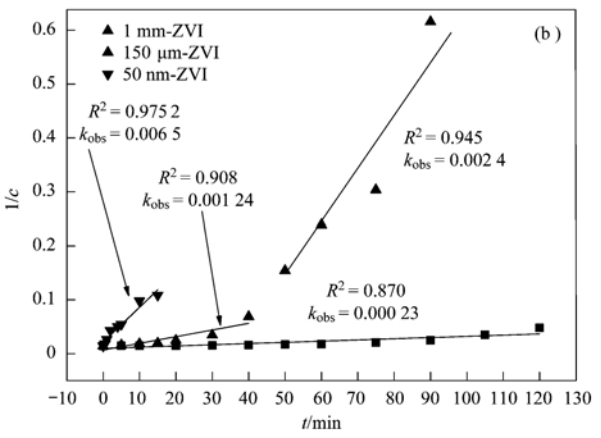


图 3 AO7 的降解动力学拟合

Fig. 3 Kinetic fittings for AO7 degradation

表 1 为 3 种不同粒径零价铁活化过硫酸钠降解 AO7 的动力学方程拟合结果,结果表明 1 mm-ZVI 和 150 μm-ZVI 活化过硫酸钠降解 AO7 是一级反应,而 50 nm-ZVI 活化体系中 AO7 的降解是二级反

应. 此外 2 种动力学拟合结果均表明 3 种粒径零价铁活化过硫酸钠降解 AO7 的速率常数大小为 50 nm-ZVI > 150 μm-ZVI > 1 mm-ZVI,这与 3 种体系中AO7 的去除效果是一致的.

表 1 不同粒径零价铁活化过硫酸钠降解 AO7 的动力学方程拟合

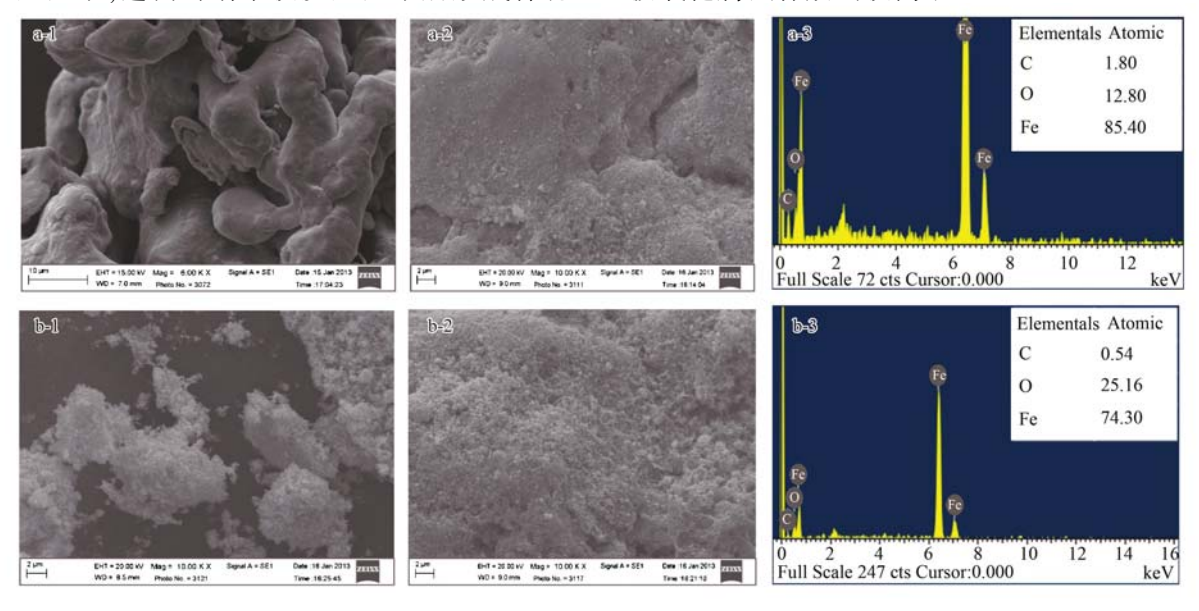
Table 1 Effects of the particle size of ZVI on the kinetics of oxidation AO7

粒径	一级反应动力学拟合			二级反应动力学拟合			拟合结果	
4941年	线性方程	$k_{ m obs1}$	R^2	线性方程	$k_{ m obs2}$	R^2	1以口归木	
1 mm-ZVI	$-\ln(c/c_0) = 0.0017 t + 0.0099$	0.0017	0. 937	1/c = 0.009 + 0.00023 t	0. 000 23	0. 87	一级反应	
	$-\ln(c/c_0) = 0.014t - 0.0054$	0.014	0. 970	1/ t = 0.009 + 0.000 23 t			双风型	
150 μm-ZVI	$-\ln(c/c_0) = 0.043t - 0.133$	0. 043	0. 991	1/c = 1.006 + 0.00124 t	0. 001 24	0. 908	一级反应	
				1/c = 0.91 + 0.0024 t	0.0024	0. 945	一级风迹	
50 nm-ZVI	$-\ln(c/c_0) = 0.177t - 0.357$	0. 177	0. 920	1/c = 1.02 + 0.0065 t	0.0065	0. 975	二级反应	

2.4 不同粒径零价铁的反应产物

为了观察反应前后 ZVI 表面的变化情况,对反应前后的 150 μm-ZVI 和 50 nm-ZVI 进行了扫描电镜(SEM)和拉曼光谱(Raman spectroscopy)表征. 图 4 显示的是扫描电镜图片,是 150 μm-ZVI 和 50 nm-ZVI 活化体系中反应 2 h 后 ZVI 表面微观形貌变化的观察结果. 可以发现,随着反应的进行 150 μm-ZVI 从不规则的凹凸不平的光滑表面[图 4(a-1)]逐渐变得粗糙[图 4(a-2)],并且表面出现了雪花状结晶类氧化物质. 而 50 nm-ZVI 反应前因其特殊的比表面特性而使其容易发生团聚,蓬松的纳米铁发生团聚后形成棉花

状[图 4(b-1)],经过 PS 的氧化后其团聚现象更为严重,其表面也是形成雪花状的氧化物,不过这种物质比 150 μm-ZVI 表面的要多得多,说明纳米铁更容易发生腐蚀[图 4(b-2)]. 根据该物质的形态推测为 FeOOH [16],在有氧条件下,铁的腐蚀氧化产物中 FeOOH 是一种常见的铁腐蚀产物,而且 EDS 峰谱中均出现了 O 的峰谱,这表明ZVI 表面氧化物的存在. 此外,可以明显发现 50 nm-ZVI 表面元素分析中 O 的含量[图 4(c-2)]比 150 μm-ZVI 的 O 的含量[图 4(c-1)]要大得多,进一步表明纳米零价铁比普通零价铁更容易被氧化腐蚀释放出铁离子.



a-1 为反应前 150 μm-ZVI 的 SEM 图, a-2 为反应后 150 μm-ZVI 的 SEM 图, a-3 为反应后 150 μm-ZVI 的 EDS 图, b-1 为反应前 50 nm-ZVI 的 SEM 图, b-2 为反应前 50 nm-ZVI 的 SEM 图, b-3 为反应前 50 nm-ZVI 的 EDS 图

图 4 反应前后零价铁表面的 SEM 和 EDS 图

Fig. 4 SEM-EDS images of the ZVI surface from different systems

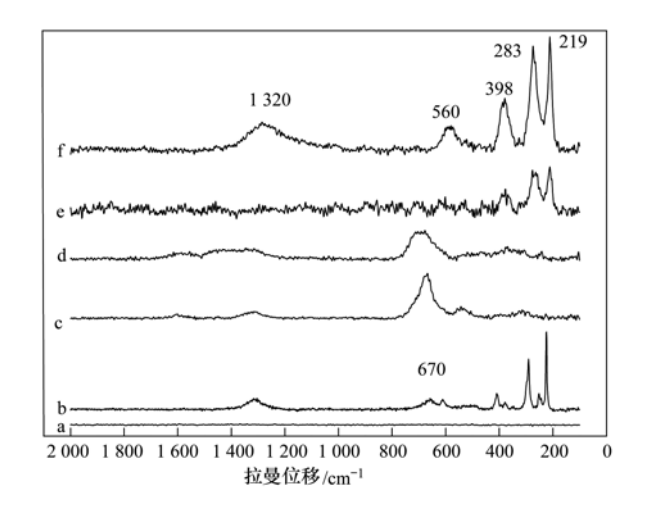
同时从反应前后 ZVI 腐蚀产物的拉曼光谱中可以发现,150 μ m-ZVI 参与 PS 氧化反应后其表面氧化物的主要特征峰出现在 670 cm $^{-1}$ 处(图 5c、5d),研究表明这是来源于 Fe₃O₄ 的特征峰 $^{[17,18]}$,说明 150 μ m-ZVI 表面的腐蚀产物主要是 Fe₃O₄. 50 nm-ZVI 反应后生成的主要氧化物为 α -Fe₂O₃ 和 α -FeOOH,因为图 5e、5f 中出现在 219 cm $^{-1}$ 、283 cm $^{-1}$ 、1 320 cm $^{-1}$ 的特征峰都是归因于 α -Fe₂O₃ 的存在,而处于 398 cm $^{-1}$ 、560 cm $^{-1}$ 的峰是 α -FeOOH 的特征峰 $^{[19]}$. 而由图 5b 可知,1 mm-ZVI 反应后的主要产物为 α -Fe₂O₃,同时也有少量的 Fe₃O₄.

2.5 AO7 降解产物的分析

2.5.1 光谱变化分析 AO7 降解产物

为了揭示 A07 特征官能团在不同粒径 ZVI 活

化 PS 体系中的降解情况,考察了 3 种体系下 AO7 溶液的吸收光谱变化情况,如图 6 所示. 从 AO7 溶液的吸收光谱可以看出, AO7 在可见光区域有 2 个特征吸收峰,分别在 486 nm 和 430 nm,代表了 AO7 的发色基团,它们是由染料分子在溶液中的两种不同存在状态引起的. 而在紫外光区域处于 228 nm 和 310 nm 的特征吸收峰分别代表的是 AO7 的苯环结构和萘环结构^[20,21]. 随着降解时间的延长,处于 486 nm 和 430 nm 的 AO7 特征吸收峰的强度不断下降,表明 AO7 的发色基团被 SO₄-氧化破坏,同时代表苯环(228 nm)和萘环(310 nm)的特征吸收峰的强度也是随着反应时间的延长不断降低的,尤其是在 150 μm-ZVI 活化体系中降解过程非常迅速,在 1 h 内基本消失. 然而在 50 nm-ZVI 活化体系中[图 6



- a. 150 μ m-ZVI; b. 1 mm-ZVI/PS/AO7;
- c. 150 µm-ZVI/PS; d. 150 µm-ZVI/PS/AO7;
 - e. 50 nm-ZVI/PS; f. 50 nm-ZVI/PS/AO7

图 5 不同粒径零价铁反应前后的拉曼光谱图

Fig. 5 Raman spectroscopy of pure oxides and ZVI obtained from different reaction conditions

(c)],苯环和萘环的特征吸收峰刚开始的降解速度是非常迅速的,但是在反应 10 min 后这些特征峰的强度几乎没有变化,这可能是由于溶液中 PS 浓度已经消耗完毕[如图 2(b)]. 这说明 50 nm-ZVI 活化体系中虽然 AO7 脱色效果较好,但是其含苯环和萘环的中间产物并没有完全被去除,这主要是因为该体系中过量的 Fe²+和这些中间产物竞争 SO₄⁻使得SO₄⁻对目标污染物的降解效率下降,因此维持氧化铁体系中 Fe²+的适当浓度是非常重要的. 而且从50 nm-ZVI 活化体系中苯环和萘环的吸收峰强度可知苯环结构比萘环结构更难降解,因为反应 90 min后 310 nm 处的萘环吸收峰已消失,而 228 nm 处的苯环结构还没完全降解.

同时从图 6 中可以明显地发现,随着反应时间的延长这 3 种零价铁活化体系中均出现了 251 nm 处新的特征吸收峰,这表明随着显色基团的破坏,形成了在 251 nm 处有较强吸收的中间产物. AO7 溶液吸收光谱的变化差异可能是由于不同粒径 ZVI 活化 PS 降解 AO7 的途径不一样引起的.

2.5.2 GC/MS 分析 AO7 中间产物

GC/MS 测定了不同粒径零价铁活化 PS 降解 AO7 的中间产物,降解过程检测到的主要中间产物 按照其保留时间的先后顺序列在了表 2 中,包括 2-萘酚、邻甲酚、3-甲基-4-乙基苯酚、2,4-二羟基-苯 脒酸甲酯、邻苯二甲酸等. 其中中间产物 2-萘酚和 N-甲基萘胺被认为是 AO7 降解的初级阶段的产物,

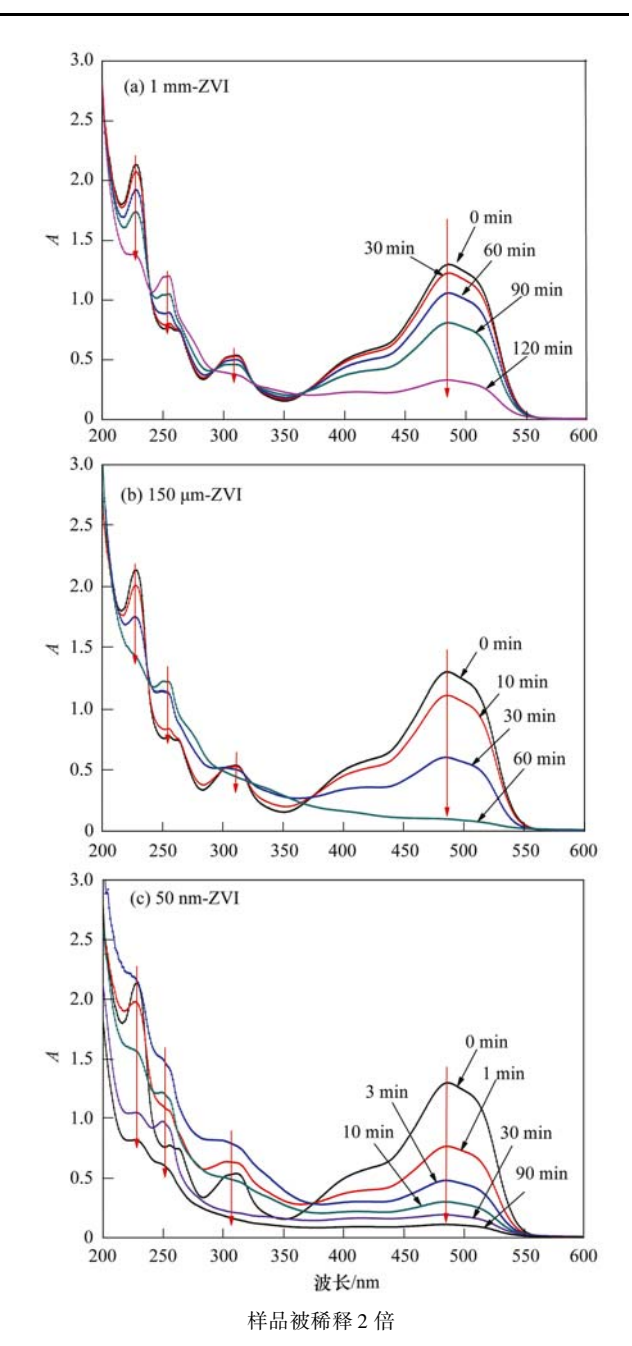


图 6 反应过程中 AO7 溶液吸收光谱的变化 Fig. 6 UV-visspectralvis spectral changes of AO7 in solutions as a function of time

可能是因为 AO7 分子发色基团偶氮键断裂形成.由表 2 可以发现这 2 种产物在 3 种不同粒径零价铁活化 PS 降解 AO7 的体系中均被检测出,并且在 1 mm-ZVI/PS 体系中仅检测出这 2 种中间产物,说明 1 mm-ZVI 活化体系对 AO7 降解氧化为无害小分子有机物的能力较差,这与其对 PS 活化速率较低相对应.相反地,其他 2 种粒径的零价铁活化体系中被检出的中间产物较多,而且分子量也相对较小,说明这 2 种零价铁活化体系对 AO7 的矿化率较高.然而由表 2 可以明显发现 150 μm-ZVI 活化体系中被检

表 2 GC/MS 测得的主要中间产物

Table 2 Main intermediate products detected by GC-MS technology

序号	化合物	保留时间	定性离子	结构式	检出体系			
		/min	走性呙丁	垣 构式	1 mm-ZVI	150 μm-ZVI	50 nm-ZVI	
A	2-萘酚	21. 388	144,115	ОН	V	\checkmark	\checkmark	
В	邻甲酚	21. 924	108,80	ОН		$\sqrt{}$		
С	3-甲基-4-乙基苯酚	22. 358	121,136	OH		$\sqrt{}$		
D	2,4-二羟基-苯脒酸甲酯	26. 410	136,108	O NH OH		V	\checkmark	
E	1,3-二茚酮	29. 774	146,104,90,50			V		
F	邻苯二甲酰亚胺	32. 491	147,104	O NH O			$\sqrt{}$	
G	邻苯二甲酸	33. 792	148,104,76	ОН		V	\checkmark	
Н	N-甲基萘胺	36. 335	157,128	NH	\checkmark	\checkmark	$\sqrt{}$	

测出的中间产物比 50 nm-ZVI 活化体系要多,可能是由于 50 nm-ZVI 活化体系的氧化反应速率较快,使得一些中间产物被快速矿化为 CO_2 和 H_2O 而无法检出,也可能是由于这 2 种体系对 AO7 的降解途径不一样.

3 结论

- (1)3 种粒径零价铁对活化过硫酸钠降解 AO7 均具有较好的效果,随着氧化反应进行到 90 min 时 1 mm-ZVI、150 μm-ZVI 和 50 nm-ZVI 活化过硫酸钠降解 AO7 分别达到 43%、97% 和 100% 左右的去除率,50 nm-ZVI 对过硫酸钠活化效率最高.
- (2)由 SEM-EDS 和拉曼光谱表征结果可知,氧 化反应后腐蚀的零价铁表面有氧化物生成,其中 1 mm-ZVI 反应后的主要产物为 α -Fe₂O₃ 和少量的

- Fe₃O₄. 150 μ m-ZVI 表面的腐蚀产物主要是 Fe₃O₄, 而 50 nm-ZVI 反应后生成的主要氧化物为 α -Fe₂O₃ 和 α -FeOOH.
- (3)AO7 动力学方程拟合结果表明,1 mm-ZVI和150 μm-ZVI活化过硫酸钠降解AO7是一级反应,而50 nm-ZVI活化体系中AO7的降解是二级反应,而且1 mm-ZVI活化体系AO7的降解表现出先慢后快的2阶段降解特性. 此外2种动力学拟合结果均表明3种粒径零价铁活化过硫酸钠降解AO7的速率常数大小为50 nm-ZVI>150 μm-ZVI>1 mm-ZVI.
- (4) GC/MS 分析检出的主要中间产物有 2-萘酚、邻苯酚、邻苯二甲酸等,不同粒径零价铁的活化体系被检出的中间产物不同. 同时由 AO7 溶液吸收光谱的变化和 GC/MS 检出中间产物的结果可

知 3 种粒径活化过硫酸钠降解 AO7 的降解途径可能存在差异性.

参考文献:

- Block P A, Brown R A, Robinson D. Novel activation technologies for sodium persulfate in situ chemical oxidation
 [A]. In: Proceedings of the Fourth International Conference on Remediation of Chlorinated and Recalcitrant Compounds [C].
 Monterey, Columbus, Ohio: Battelle Press. 2004.
- [2] 张成,万金泉,马邕文,等. 加热与零价铁活化 $S_2O_8^{2-}$ 氧化降解偶氮染料 AO7的研究[J]. 环境科学, 2011, $\bf 32$ (10): 2949-2955.
- [3] Chung T V, Anh T Q, Phung D Q, et al. Degradation of nitrobenzene by persulfate activated with zero-valent iron [J].
 Asian Journal of Chemistry, 2012, 24(3): 1371-1374.
- [4] Zhao J Y, Zhang Y B, Quan X, et al. Enhanced oxidation of 4-chlorophenol using sulfate radicals generated from zero-valent iron and peroxydisulfate at ambient temperature [J]. Separation and Purification Technology, 2010, 71(3): 302-307.
- [5] Cao J S, Zhang W X, Brown D G, et al. Oxidation of lindane with Fe(II)-activated sodium persulfate [J]. Environmental Engineering Science, 2008, 25(2): 221-228.
- [6] Liang C, Bruell C J, Marley M C, et al. Persulfate oxidation for in situ remediation of TCE. I. Activated by ferrous ion with and without a persulfate thiosulfate redox couple [J]. Chemosphere, 2004, 55(9): 1213-1223.
- [7] 张成,万金泉,马邕文,等. Ph 及络合剂对亚铁活化 $S_2O_8^2$ 氧化去除活性艳蓝的影响研究 [J]. 环境科学, 2012, **33** (3): 871-878.
- [8] Li H X, Wan J Q, Ma Y W, et al. Influence of particle size of zero-valent iron and dissolved silica on the reactivity of activated persulfate for degradation of acid orange 7 [J]. Chemical Engineering Journal, 2014, 237: 487-496.
- [9] Kusic H, Peternel I, Koprivanac N, et al. Iron-Activated Persulfate Oxidation of an Azo Dye in model wastewater: Influence of iron activator type on process optimization [J]. Journal of Environmental Engineering, 137(6): 454-463.
- [10] Liang C J, Lai M C. Trichloroethylene degradation by zero valent iron activated persulfate oxidation [J]. Environmental Engineering Science, 2008, 25(7): 1071-1077.

- [11] Yang S Y, Yang X, Shao X T, et al. Activated carbon catalyzed persulfate oxidation of Azo dye acid orange 7 at ambient temperature [J]. Journal of Hazardous Materials, 2011, 186 (1): 659-666.
- [12] Liang C J, Huang C. F, Mohanty N, et al. A rapid spectrophotometric determination of persulfate anion in ISCO [J]. Chemosphere, 2008, 73(9): 1540-1543.
- [13] APHA, AWWA, WEF. Standards methods for the examination of water and wastewater [M]. Washington, DC; APHA, 1998.
- [14] Agrawal A, Tratnyek P G. Reduction of nitroaromatic compounds by zero-valent iron metal [J]. Environmental Science & Technology, 1996, 30: 153-160.
- [15] Matheson L J, Tratnyek P G. Reductive dehalogenation of chlorinated methanes by iron metal [J]. Environmental Science & Technology, 1994, 28(12): 2045-2053.
- [16] Zhang T C, Huang Y H. Profiling iron corrosion coating on iron grains in a zerovalent iron system under the influence of dissolved oxygen [J]. Water Research, 2006, 40(12): 2311-2320.
- [17] Gunawardana B, Singhal N, Swedlund P J. Dechlorination of pentahlorophenol by zero valent iron and bimetals; effect of surface characteristics and bimetal preparation procedure [A]. In: Proceedings of the Annual International Conference on Soils, Sediments, Water and Energy [C]. 2012, 17: 69-81.
- [18] Li H X, Wan J Q, Ma Y W, et al. New insights into the role of zero-valent iron surface oxidation layers in persulfate oxidation of dibutyl phthalate solutions [J]. Chemical Engineering Journal, 2014, 250: 137-147.
- [19] Orberger B, Wagner C, Wirth R, et al. Origin of iron oxide spherules in the banded iron formation of the Bababudan Group, Dharwar Craton, Southern India [J]. Journal of Asian Earth Science, 2012, 52: 31-42.
- [20] Yuan R X, Ramjaun S N, Wang Z H, et al. Effects of chloride ion on degradation of Acid Orange 7 by sulfate radical-based advanced oxidation process; Implications for formation of chlorinated aromatic compounds [J]. Journal of Hazardous Materials, 2011, 196; 173-179.
- [21] Ong S A, Min O M, Ho L M, et al. Comparative study on photocatalytic degradation of mono azo dye acid orange 7 and methyl orange under Solar light irradiation [J]. Water Air Soil Pollution, 2012, 223(8): 5483-5493.

Environmental Science (monthly)

Vol. 35 No. 9 Sep. 15, 2014

CONTENTS

Comparative Analysis Methods of Haze Distinction over Yangtze River Delta Region	20.)
Trends of Urban Haze in Jiangsu Province China over the Past 33 Years LIU Duan-yang, WEI Jian-su, YAN Wen-lian, et al. (324)	
Temporal Variation of Background Atmospheric CO ₂ and CH ₄ at Mount Waliguan, China	
Characteristics and Sources of Organic Carbon and Elemental Carbon in PM _{2,5} in Shanghai Urban Area ZHANG Yi-hua, WANG Dong-fang, ZHAO Qian-biao, et al. (326	
Size Distribution and Characterization of OC and EC in Atmospheric Aerosols During the Asian Youth Games of Nanjing, China	
Pollution Characteristics of Carbonaceous Aerosols in PM _{2.5} During Typical Winter Days in Wuxi City	
Emission Characteristics of PM _{2.5} from Blast Furnace Iron Making FAN Zhen-zhen, ZHAO Ya-li, ZHAO Hao-ning, et al. (328)	
Composition Characteristics of Atmospheric Volatile Organic Compounds in the Urban Area of Beibei District, Chongqing	
Catalytic Oxidation of Two-component VOCs and Kinetic Analysis BO Long-li, YANG Li, SUN Jian-yu, et al. (330	
Ultrafine Particle Number Concentration and Size Distribution of Vehicle Exhaust Ultrafine Particles	
Major Ion Chemistry of Surface Water in the Upper Reach of Shule River Basin and the Possible Controls	
Sediment-water Flux and Processes of Nutrients and Gaseous Nitrogen Release in a China River Reservoir	
Spatial Distribution and Pollution Assessment of Heavy Metals in the Tidal Reach and Its Adjacent Sea Estuary of Daliaohe Area, China ZHANG Lei, QIN Yan-wen, MA Ying-qun, et al. (333	,
Chemical Speciation and Risk Assessment of Heavy Metals in the Middle Part of Yarlung Zangbo Surface Sediments	
Analysis of Particle Size Characteristics of Road Sediments in Beijing Olympic Park	
Levels and Distribution of the Dioxin-Like Polychlorinated Biphenyls (PCBs) in the Surface Sediment of the Yellow River LI Guang-yao, JIN Jun, HE Chang, et al. (335)	58)
Characteristics of Nitrogen and Phosphorus Retention in Two Different Channel Forms in a Typical Headwater Stream in the Suburb of Hefei City, China	
LI Ru-zhong, YANG Ji-wei, QIAN Jing, et al. (336	55)
Migration and Transformation of Nitrogen in Urban Stream Located in Plain River-net Area Based on Water Resources Regulation	
LIU Bo, SHENG Ming, ZHU Qiang, et al. (337	73)
Decomposition and Phosphorus Dynamics of the Litters in Standing and Litterbag of the Hangzhou Bay Coastal Wetland	
Muti-model Collaborative Retrieval of Chlorophyll a in Taihu Lake Based on Data Assimilation	
Photobleaching of Dissolved Organic Matter (DOM) from Confluence of Two Rivers Under Natural Solar Radiation: A Case Study of Fujiang River-Jialingjiang River	/
GAO Jie, JIANG Tao, YAN Jin-long, et al. (339	37)
Using Ultraviolet-Visible (UV-Vis) Absorption Spectrum to Estimate the Dissolved Organic Matter (DOM) Concentration in Water, Soils and Sediments of Typical Water-Level Fluctuation	"
Zones of the Three Gorges Reservoir Areas	18)
Synthesis of Cu ₂ O-Ag-AgBr/MA Visible Photocatalyst and Its Performance in Degradation of 2-Chlorophenol	
Effects of Particle Size of Zero-Valent Iron on the Reactivity of Activating Persulfate and Kinetics for the Degradation of Acid Orange 7	17)
Effects of Farticle Size of Zero-valent from on the Reactivity of Activating Persunate and Knietics for the Degradation of Acta Orange / LI Huan-xuan, WAN Jin-quan, MA Yong-wen, et al. (342)	22.)
Degradation of 2,4-D by Combined Catalytic Dechlorination and Biological Oxidation	
Treatment of Marine-Aquaculture Effluent by the Multi-Soil-Layer (MSL) System and Subsurface Flow Constructed Wetland	
Variation of Different Carbon Sources in the Sewage Treatment Process	
Effect of Gas-lift Device on Nitrogen Removal Efficiency of ANAMMOX Reactor	
Enhancement for Anaerobic Digestion of Sewage Sludge Pretreated by Microwave and Its Combined Processes	
Pilot Study of Thermal Treatment/Thermophilic Anaerobic Digestion Process Treating Waste Activated Sludge of High Solid Content WU Jing, WANG Guang-qi, CAO Zhi-ping, et al. (346	
Effects of Temperature on Combined Process of ABR and MBR for Domestic Sewage Treatment and Analysis of Microbial Community WU Peng, LU Shuang-jun, XU Yue-zhong, et al. (346	
Microbial Community of Municipal Discharges in A Sewage Treatment Plant	
Pilot-Scale Cultivation of Spirulina plantensis with Digested Piggery Wastewater	
Spectral Characteristics of Soluble Metabolites During Endogenous Respiration LI Zhi-hua, ZHANG Qin, BAI Xu-li, et al. (348	37)
Endogenous Respiration Process Analysis of Heterotrophic Biomass and Autotrophic Biomass Based on Respiration Map	92)
Influence of S-Metolachlor and Cd ²⁺ on Photosynthesis of Scenedesmus obliquus	98)
Effect of Environmental Factors on Fish Community Structure in the Huntai River Basin at Multiple Scales)4)
Succession of Rotifer Community and Its Relationship with Environmental Factors in a New Estuarial Landscape River, Shanghai	
Anaerobic Reduction of Humus/Fe(III) and Electron Transport Mechanism of Fontibacter sp. SgZ-2	
Source Apportionment of Soil Heavy Metals in Jiapigou Goldmine Based on the UNMIX Model	
Environmental Magnetic Properties and Their Spatial Variability of Topsoil in Shihezi City YANG Han, XIONG Hei-gang, CHEN Xue-gang (353)	
Effects of Different Amounts of Phosphate Fertilizers on Copper, Zinc Transfer in Red Soil Under the Application of KH ₂ PO ₄	
Influence of Sulfur on the Bioavailability of Arsenic Uptake by Rice (Oryza. sativa L.) and Its Speciation in Soil	
Effects of Sulfur on Transformation of Selenium in Soil and Uptake of Selenium in Rape LIU Xin-wei, DUAN Bi-hui, XIA Quan-jie, et al. (356)	
Impact of Reclaimed Water Irrigation on Soil Chemical Properties and Culturable Microorganisms GONG Xue, WANG Ji-hua, GUAN Jian-fei, et al. (357)	
	!2)
Influence of Different Slope Position and Profile in Disporopsis pernyi Forest Land on Soil Microbial Biomass and Enzyme Activity in Southwest Karst Mountain of China	20.)
QIN Hua-Jun, HE Bing-Hui, ZHAO Xuan-chi, et al. (358	SU)
Effects of Different Soil Types on the Foliar δ ¹³ C Values of Common Local Plant Species in Karst Rocky Desertification Area in Central Guizhou Province	
DU Xue-lian, WANG Shi-jie, LUO Xu-qiang (358	
Effect of Carbon Substrate Concentration on N2, N2O, NO, CO2 and CH4 Emissions from a Paddy Soil in Anaerobic Condition	
Ability of Typical Greenery Shrubs of Beijing to Adsorb and Arrest PM _{2.5}	
Effects of Chlorides on Cd Transformation in a Simulated Grate Incinerator During Sludge Incineration Process	(2)
Spatial Temporal Differentiation of Product-based and Consumption-based CO ₂ Emissions and Balance in the Beijing-Tianjin-Hebei Region; an Economic Input-Output Analysis	
WANG Hao, CHEN Cao-cao, PAN Tao, et al. (361	
Study on Feasible Emission Control Level of Air Pollutions for Cement Industry	32)

《环境科学》第6届编辑委员会

主 编:欧阳自远

副主编:赵景柱 郝吉明 田 刚

编 委: (按姓氏笔画排序)

万国江 王华聪 王凯军 王绪绪 田 刚 田 静 史培军

朱永官 刘志培 汤鸿霄 陈吉宁 孟 伟 周宗灿 林金明

欧阳自远 赵景柱 姜 林 郝郑平 郝吉明 聂永丰 黄 霞

黄耀 鲍强潘纲潘涛魏复盛

环龙种草

(HUANJING KEXUE)

(月刊 1976年8月创刊) 2014年9月15日 第35卷 第9期

ENVIRONMENTAL SCIENCE

(Monthly Started in 1976)
Vol. 35 No. 9 Sep. 15, 2014

		,			
主	管	中国科学院	Superintended	by	Chinese Academy of Sciences
主	办	中国科学院生态环境研究中心	Sponsored	by	Research Center for Eco-Environmental Sciences, Chinese
协	办	(以参加先后为序)			Academy of Sciences
		北京市环境保护科学研究院	Co-Sponsored	by	Beijing Municipal Research Institute of Environmental
		清华大学环境学院			Protection
主	编	欧阳自远			School of Environment, Tsinghua University
编	辑	《环境科学》编辑委员会	Editor-in -Chief	•	OUYANG Zi-yuan
>m	7-4	北京市 2871 信箱(海淀区双清路	Edited	by	The Editorial Board of Environmental Science (HUANJING
		18号,邮政编码:100085)			KEXUE)
		电话:010-62941102,010-62849343			P. O. Box 2871, Beijing 100085, China
		传真:010-62849343			Tel:010-62941102,010-62849343; Fax:010-62849343
		E-mail; hjkx@ rees. ac. cn			E-mail; hjkx@ rcees. ac. cn
		http://www.hjkx.ac.cn			http://www. hjkx. ac. cn
出	版	4 星 虫 版 社	Published	by	Science Press
щ	742	北京东黄城根北街 16 号			16 Donghuangchenggen North Street,
		邮政编码:100717			Beijing 100717, China
印刷装	ŧ订	北京北林印刷厂	Printed	by	Beijing Bei Lin Printing House
发	行	斜望出版社	Distributed	by	Science Press
		电话:010-64017032			Tel:010-64017032
		E-mail: journal@ mail. sciencep. com			E-mail:journal@mail.sciencep.com
订 购	处	全国各地邮电局	Domestic		All Local Post Offices in China
国外总统	发行	中国国际图书贸易总公司	Foreign		China International Book Trading Corporation (Guoji
		(北京 399 信箱)			Shudian), P. O. Box 399, Beijing 100044, China

中国标准刊号: $\frac{ISSN}{CN}$ 0250-3301 $\frac{11-1895/X}{11}$

国内邮发代号: 2-821

国内定价:90.00元

国外发行代号: M 205

国内外公开发行